

Netzwerk und Schaltungen II

28. Juli 2017

Elektrostatik (NUS I)

Elementarladung	e	$+1.602 \cdot 10^{-19}$	$\frac{As}{C}$
Dielektrizitätskonst.	ϵ_0	$8.854 \cdot 10^{-12}$	$\frac{As}{Vm}$
Magn. Permeabilität	μ_0	$4\pi \cdot 10^{-7}$	$\frac{Vs}{Am}$
Ruhemasse Elektron	$m_{0,e}$	$9.1094 \cdot 10^{-31}$	$\frac{kg}{m}$
Ruhemasse Proton	$m_{0,p}$	$1.6726 \cdot 10^{-27}$	$\frac{kg}{m}$
Lichtgeschwindigkeit	c_{vak}	$2.99792 \cdot 10^8$	$\frac{m}{s}$

Ladungsdichten

- Linienladungsdichte: $\lambda = \frac{dQ}{dl} = \left[\frac{As}{m} \right] \cdot Q = \int_l \lambda dl$
- Flächenladungsdichte: $\sigma = \frac{dQ}{dA} = \left[\frac{As}{m^2} \right] \cdot Q = \int_A \sigma dA$
- Raumladungsdichte: $\rho = \frac{dQ}{dV} = \left[\frac{As}{m^3} \right] \cdot Q = \int_V \rho dV$

Grundgrößen

- E-Feld einer Punktladung: $\vec{E} = \frac{1}{4\pi\epsilon_0} \cdot \frac{Q}{r^2} \cdot \left[\frac{V}{m} \right]$
- Kraft mehrer zweier Ladungen: $\vec{F} = \frac{Q_1 Q_2}{4\pi\epsilon_0 r^2} \vec{e}_r$ [N]
- Coulombkraft: $\vec{F} = q\vec{E}$
- E-Feld Punktdgn: $\vec{E}(\vec{r}_p) = \frac{1}{4\pi\epsilon_0} \cdot \sum_k \frac{Q_k}{|\vec{r}_p - \vec{r}_k|^2} \frac{\vec{r}_p - \vec{r}_k}{|\vec{r}_p - \vec{r}_k|}$
- E-Feld ∞ -langer Leiter: $E = \frac{1}{2\epsilon_0} \frac{\lambda}{r_\perp}$
- Spannung, Innen-/Aussenleiter: $E(\rho) = \frac{\rho}{2\pi\epsilon_0} \frac{1}{\rho}$
 $U = \int_{r_1}^{r_2} \vec{E}(\rho) d\rho = \int_{r_1}^{r_2} \frac{Q}{2\pi \cdot \epsilon \cdot l \cdot \rho} d\rho = \frac{Q}{2\pi \cdot \epsilon \cdot l} \ln \left| \frac{r_2}{r_1} \right|$
- Leckstrom:
 $I = \int_0^{2\pi} \int_0^l \vec{J}(\rho) \rho d\rho dz = 2\pi \kappa l E(\rho) \Rightarrow E(\rho) = \frac{I}{2\pi \kappa l \rho}$
- Elektr. Flussdichte $\vec{D}(\vec{r}) = \epsilon_0 \cdot \epsilon_r \cdot \vec{E}(\vec{r}) = \epsilon \cdot \vec{E}(\vec{r}) \left[\frac{As}{m^2} \right]$

Arbeit & Potential (1-33)

$W_{P_1 \rightarrow P_2} = - \int_{P_1}^{P_2} \vec{F} \cdot d\vec{s}$ weg-unabhängig
 $W_e = -Q \int_{P_1}^{P_2} \vec{E} \cdot d\vec{s} = Q(\varphi(P_2) - \varphi(P_1)) = -U_{12} Q$
 $\rightarrow [W] = W_3 = J, [P] = \frac{J}{C} = V$

Potential:
 Oftmals $P_{ref} = \infty$
 $\varphi(P_1) = \frac{W(P_{ref} \rightarrow P_1)}{Q_1} = - \int_{P_{ref}}^{P_1} \vec{E} \cdot d\vec{s}$ [V]

Spannung

$U_{12} = \varphi(P_1) - \varphi(P_2) = \int_{P_1}^{P_2} \vec{E} \cdot d\vec{s} = \frac{W_{12}}{Q}$

Das Gauss'sche Gesetz (1-45)

$$\oint_A \vec{D}(\vec{r}) \cdot d\vec{A} = \int_V \vec{e}_r D(r) \vec{e}_r dA = Q = DA$$

beweise $D = \frac{Q}{S}$ für unendlich dünne Platten

E-Feldlinien von idealen Leitern, stehen senkrecht auf der Oberfläche.

Kondensator (1-61)

$$C = \frac{Q}{U} = \frac{\int_A \vec{D} \cdot d\vec{A}}{\int_A \vec{E} \cdot d\vec{s}} = \frac{\int_A \sigma dA}{\int_A \vec{E} \cdot d\vec{s}} \quad [F] = \left[\frac{As}{Vm} \right]$$

Einfache Kondensatorentlastung: $U = U_0 e^{-\frac{t}{RC}}$

- Plattenkondensator:
 $E = \frac{U}{d} = \frac{Q}{\epsilon \cdot A} = \frac{Q}{\epsilon \cdot A} \cdot U = Ed \rightarrow C = \frac{Q}{U} = \frac{\epsilon \cdot A}{d}$

Das Feld einer Platte ist $E/2$

Die Kugel (schalen)kondensator: (1-62)(1-73)

$$U_{ab} = \int_{r_1}^{r_2} \vec{E} \cdot d\vec{s} = \frac{Q}{4\pi\epsilon_0} \int_{r_1}^{r_2} \frac{1}{r^2} dr = \frac{Q}{4\pi\epsilon_0} \left(\frac{1}{r_1} - \frac{1}{r_2} \right) \Rightarrow C = 4\pi\epsilon_0 \frac{r_1 r_2}{r_2 - r_1}$$

- Vielschichtenkondensator aus n Platten:
 $C_{ges} = (2n - 1)C$

Drehkondensator (1-68)

$$C_{ges} = (2n - 1) \frac{\epsilon_0}{d} \cdot (2n - 1) \frac{\epsilon}{2\pi} \left(\frac{\pi r_a^2}{\pi r_a^2 - \pi r_i^2} \right)$$

Für unendlich dünne Platten: $D = \sigma/2$

Energie im E-Feld (1-70)(1-72)

- Kondensator:
 $W_e = \frac{1}{2} \frac{Q^2}{C} = \frac{1}{2} QU = \frac{1}{2} CU^2 = \iiint_V \frac{1}{2} \vec{E} \cdot \vec{D} dV$

- Ladung im Fixen E-Feld: $[W] = qU$

Elek. stationäres Strömungsfeld (NUS I)

Strom

$I = \frac{dQ}{dt} = \iint_A \vec{J} \cdot d\vec{A}, [I] = A, J = \frac{dI}{dA}, [J] = \frac{A}{m^2}$
 Stat. Strömungsfeld, wenn I konst.: $\oint_A \vec{J} \cdot d\vec{A} = 0$ (1-86)

- Spezifische Leitfähigkeit:
 Driftgeschw. $\vec{v}_{Drift} = -\mu_e \vec{E}$ wobei $\mu_e =$ "Beweglichkeit"
 $\vec{J} = \sum_k n_k q_k \vec{v}_{Drift} = -\rho \mu_e \vec{E}, \kappa = \text{spez. Leitf.}, [\kappa] = \frac{A}{Vm} = \frac{1}{\Omega m}$
 $\vec{J} = \vec{v}_{Drift} \rho$
- Spezifischer Widerstand: $\rho_R = \frac{1}{\kappa}, [\rho_R] = \Omega m = \frac{Vm}{A}$
- Temperaturabhängigkeit:
 $\rho_R(T) = \rho_R(20^\circ C) (1 + \alpha(T - 20^\circ C))$

- Ohmsches Gesetz: $U = R \cdot I, [R] = \frac{V}{A} = \Omega$

$J = \kappa E, R = \frac{l}{\gamma} = \frac{l}{\kappa A}, \rho_R l = \frac{l}{\kappa} = \frac{l}{\kappa} \frac{E \cdot dt}{A \cdot dA}$

- Leitwert: $G = \frac{1}{R}, [G] = S$ (Siemens)

Sprungstellen bei Materialübergängen (1-99)

- Normalkomponenten.: $J_{n1} = J_{n2}, \kappa_1 E_{n1} = \kappa_2 E_{n2}$
 Die Normalkomponente der Stromdichte ist stetig.

- Tangentialkomp.: $E_{t1} = E_{t2}, \frac{J_{t1}}{J_{t2}} = \frac{\kappa_1}{\kappa_2}$
 Die Tangentialkomponente des E-Feldes ist stetig.

Energie und Leistung (1-102)

$W_e = \int_t P(t) dt$ und $P(t) = \frac{dW_e}{dt}$
 $P = UI = I^2 R = U^2 / R$
 Verlustleistungsdichte: $p_V = \frac{dP}{dV} = \vec{E} \cdot \vec{J}$
 $P = \iiint_V p_V dV = \iiint_V \vec{E} \cdot \vec{J} dV$

Wechselstrom

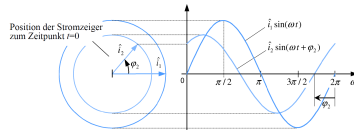
$i(t) = \hat{i} \sin(\omega t + \phi), [a] = \frac{rad}{s}, \omega = 2\pi f$

Kenngrößen

- Mittelwert: $\bar{i} = \frac{1}{T} \int_{t_0}^{t_0+T} i(t) dt = \frac{1}{2\pi} \int_{\phi=0}^{\phi=2\pi} u(\phi) d\phi$
- Gleichrichtwert: $|\bar{u}| = \frac{1}{T} \int_{t_0}^{t_0+T} |u(t)| dt = \frac{1}{2\pi} \int_{\phi=0}^{\phi=2\pi} |u(\phi)| d\phi$
- Effektivwert: $U = \sqrt{\frac{1}{T} \int_{t_0}^{t_0+T} u^2 dt} = \sqrt{\frac{1}{2\pi} \int_{\phi=0}^{\phi=2\pi} u^2 d\phi}$

Für Sinusgrößen: $|\bar{u}| = \frac{2\hat{u}}{\pi}$ und $U = \frac{\hat{u}}{\sqrt{2}}$ bzw. $\hat{u} = \sqrt{2}U$

Zeigerdiagramme



$i(t) = \hat{i} e^{j\omega t}, u(t) = \hat{u} e^{j\omega t}, \text{ Effektivwert: } I = \frac{\hat{i}}{\sqrt{2}}$

Impedanz und Bauelemente

$Z = R + jX, Y = \frac{1}{Z} = G + jB$

R: Wirkwiderstand G: Konduktanz
 X: Reaktanz (Blindwiderstand) B: Suszeptanz
 Z: Impedanz, |Z|: Scheinwiderstand
 Y: Admittanz, |Y|: Scheinleitwert

Ohm'scher Widerstand:

$Z = R, i_R = \frac{1}{R} u_R, u_R = R \cdot i_R$

Induktivität:

$Z = j\omega L, i_L = \frac{1}{L} \int u_L(t) dt, u_L = L \frac{di_L}{dt}$

Kondensator:

$Z = \frac{1}{j\omega C} = -j \frac{1}{\omega C}, i_C = C \frac{du_C}{dt}, u_C = \frac{1}{C} \int i_C(t) dt$

Integration: $\int dt \rightarrow \frac{1}{j\omega}$ Differentiation: $\frac{d}{dt} \rightarrow j\omega$

Komplexe Wechselstromrechnung

- Knotengleichung: $\sum_{\text{Knoten}} \hat{i} = 0$
- Maschengleichung: $\sum_{\text{Masche}} \hat{u} = 0$
- Serienschaltung: $Z_{ges} = \sum_{k=1}^n Z_k$
 \rightarrow Spannungsteiler: $\frac{\hat{u}_1}{\hat{u}_2} = \frac{Z_1}{Z_2}$ oder $\frac{\hat{u}_2}{\hat{u}_{ges}} = \frac{Z_2}{Z_{ges}}$
- Parallelsch.: $\frac{1}{Z_{ges}} = \sum_{k=1}^n \frac{1}{Z_k}, n = 2 \rightarrow Z_{ges} = \frac{Z_1 Z_2}{Z_1 + Z_2}$
 \rightarrow Stromteiler: $\frac{\hat{i}_1}{\hat{i}_2} = \frac{Z_2}{Z_1}$ oder $\frac{\hat{i}_2}{\hat{i}_{ges}} = \frac{Z_{ges}}{Z_2}$
- Betrag: $|Z| = |R + jX| = \sqrt{R^2 + X^2} = |Z|$
 Phase: $\alpha + jX = \sqrt{R^2 + X^2} e^{j\alpha} \Rightarrow \phi_Z = \arctan \left(\frac{X}{R} \right)$

Leistung

- Blindleistung: $Q = UI \sin(\phi_u - \phi_i), [Q] = VAR$
 Blindl. ist pendelnde Energie zw. Quelle u. Verbraucher

- Wirkleistung: $P = UI \cos(\phi_u - \phi_i) [P] = W$
 $P = Re(\underline{S}) = Re \left(\frac{1}{2} \hat{u} \hat{i}^* \right) = Re \left(\frac{1}{2} R \hat{i} \hat{i}^* \right) = \frac{1}{2} R |\hat{i}|^2$

- Scheinleistung: $\underline{S} = P + jQ = \underline{U} \cdot (\underline{I})^* = \frac{1}{2} \hat{u} \cdot \hat{i}^* [S] = VA$
 $S = \sqrt{P^2 + Q^2} \quad |S| = UI, [S] = VA$

- Mittlere Wirkleistung: $\bar{P} = UI = I_{eff}^2 R = \frac{1}{2} U_{eff} I_{eff}^2$

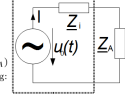
- Leistungsanpassung: $Z_L = Z_S^*$
- Momentanleistung: $p(t) = u(t)i(t)$
- Leistung Diode: im ESB: $\vec{P}_{blode} = U_{D0} \vec{i}_D + r_D I_{eff}$
- Leistungsfaktor: $\lambda = \frac{P}{S} = \cos \phi$

Komponentenübersicht

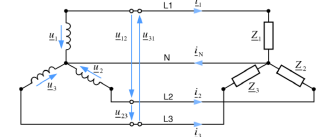
Spannung	Strom	Impedanz	Admittanz
$\hat{u} = R \hat{i}$	$\hat{i} = \frac{\hat{u}}{R}$	$Z_R = R$	$Y_R = \frac{1}{R} = G$
$\hat{u} = j\omega L \hat{i}$	$\hat{i} = \frac{\hat{u}}{j\omega L}$	$Z_L = j\omega L$	$Y_L = \frac{1}{j\omega L} = jB_L$
$\hat{u} = \frac{1}{j\omega C} \hat{i}$	$\hat{i} = j\omega C \hat{u}$	$Z_C = \frac{1}{j\omega C}$	$Y_C = j\omega C = jB_C$

Leistungsanpassung

$Z_L = R_L + jX_L$
 $Z_S = R_S + jX_S$
 $\Rightarrow Z_L = Z_S^*$
 $= R_L + j(X_L + X_S)$
 Eliminierung der Blindleistung:
 $\Rightarrow X_L = -X_S$
 $R_L = R_S$
 $Z_A = Z_S^*$



Dreiphasensystem



$\hat{u}_1 = \hat{u}_e^{j0}, \hat{u}_2 = \hat{u}_e^{j120^\circ}, \hat{u}_3 = \hat{u}_e^{j240^\circ}$
 Bei symmetrischer Belastung: $Z_1 = Z_2 = Z_3, \hat{i}_1 + \hat{i}_2 + \hat{i}_3 = 0$
 \Rightarrow N-Leiter nicht nötig.

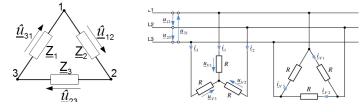
$$P = 3UI \cos(\varphi) \quad \xi = \frac{3}{2} \dot{u} \cdot \dot{i}^*$$

	Dreieck	Stern
Aussenleiterstrom I_L	$\sqrt{3} \cdot I$	I
Aussenleiterspannung \dot{U}_L	U	$\sqrt{3} \cdot U$

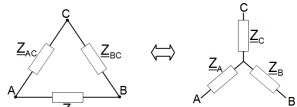
Dreieckschaltung:

$$P = 3UI \cos(\varphi) \rightarrow \text{Leistung ist grösser als beim Stern.}$$

Falls die Widerstände gleich sind, gilt: $P_{\text{Dreieck}} = 3P_{\text{Stern}}$



Stern-Dreieck-Transformation



$$Z_{AB} = \frac{Z_A Z_B + Z_A Z_C + Z_B Z_C}{Z_C}$$

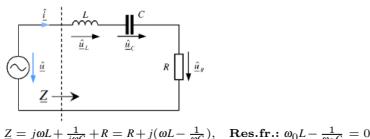
$$Z_{BC} = \frac{Z_A Z_B + Z_A Z_C + Z_B Z_C}{Z_A}$$

$$Z_{CA} = \frac{Z_A Z_B + Z_A Z_C + Z_B Z_C}{Z_B}$$

Schwingkreise

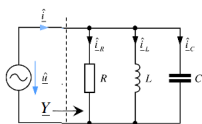
- Resonanzfrequenz:** So, dass $Z = R$ ist. $\omega_0 = \frac{1}{\sqrt{LC}}$
- Güte:** Ein Mass für die Spannungs/Stromüberhöhung, Allgemein: $Q = \frac{2\pi \text{Gesamtenergie}}{\text{Verlust/Periode}} = \frac{2\pi W_{\text{ges}}}{T P_{\text{eff}}} = \frac{2W_{\text{ges}}}{U_{\text{eff}} I_{\text{eff}}}$
Berechnung:
1. Entscheidung ob Spannungs/Stromüberhöhung
Spannung: L, C in Serie Strom: L, C parallel
2. Gesamtspannungs/Strom darstellen, Resonanzfrequenz einsetzen
3. Vorfaktor bei u_L, u_C ist die Güte
- Bandbreite:** $b_{\omega} = \frac{\omega_0}{Q} 2\pi$, $b_f = \frac{\omega_0}{Q}$, $[b_{\omega}] = \frac{\text{rad}}{\text{s}}$
- Überhöhung:** $\hat{u}_C \approx Q \cdot \hat{u}$, $\hat{i}_C \approx Q \cdot \hat{i}$

Serien-schwingkreis



Spannungsüberhöhung:
 $\omega = \omega_0 \Rightarrow \hat{u}_C = \hat{u} \sqrt{\xi} \Rightarrow \text{Güte: } Q = \frac{1}{R} \sqrt{\frac{L}{C}}, d_s = R \sqrt{\frac{L}{C}}$

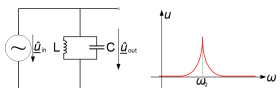
Parallelschwingkreis



Stromüberhöhung:

$$\omega = \omega_0 \Rightarrow \hat{i}_C = \hat{i} R \sqrt{\xi} \Rightarrow \text{Güte: } Q = R \sqrt{\frac{C}{L}}, d_s = \frac{1}{R} \sqrt{\frac{L}{C}}$$

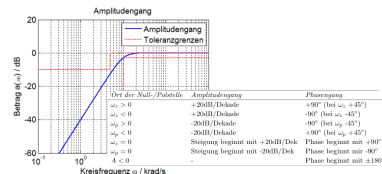
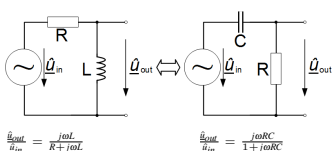
Bandpassfilter



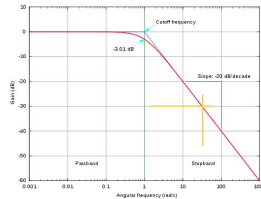
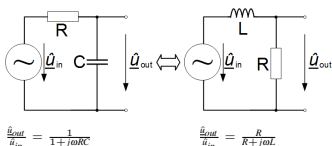
Passschaltungen

- Grenzfrequenz: Bei 3dB beträgt die Frequenz
- $|Re(H)| = |Im(H)|$
 - Phasenverschiebung $\varphi = 45^\circ$
 - Ausgangsspannung ist $\frac{1}{\sqrt{2}}$ mal so gross wie Eingangsspannung

Hochpass

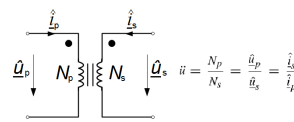


Tiefpass

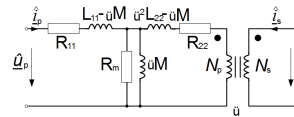


Übertrager

idealer Übertrager



nicht-idealer Übertrager



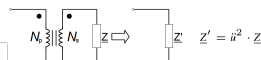
Vereinfachende Annahmen:

- Verlustfrei: $R_{11} = R_{22} = 0$, $R_m = \infty$
- Streufrei: $L_{11} - iM = 0$, $i^2 L_{22} - iM = 0$
- Kern ideal: $R_m = \infty$, $iM = 0$

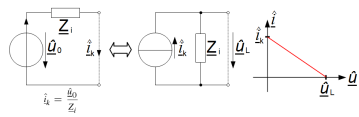
Koppelfaktor: $k = \frac{M}{\sqrt{L_{11} L_{22}}}$

T-Ersatzschaltbild: Transformation von allen Komponenten auf Primärseite und galvanische Trennung entgegen.

Widerstandstransformation



Ersatzquellen



Fourier-Analyse

$$f(x) = a_0 + a_1 \cos(x) + a_2 \cos(2x) + a_3 \cos(3x) + \dots + b_1 \sin(x) + b_2 \sin(2x) + b_3 \sin(3x) + \dots$$

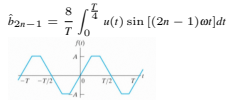
- Bedeutung:**
 $u(t) = \underbrace{U_0}_{DC} + \underbrace{\hat{a}_1 \cos(\omega t + \varphi_1)}_{\text{Grundschwingung}} + \underbrace{\hat{a}_2 \cos(2\omega t + \varphi_2) + \dots}_{\text{Obererschwingungen}}$
- Normalform:**
 $u(t) = a_0 + \sum_{n=1}^{\infty} [\hat{a}_n \cos(n2\pi \frac{t}{T}) + \hat{b}_n \sin(n2\pi \frac{t}{T})]$
- Koeffizientenberechnung:**
DC-Anteil:
 $a_0 = \frac{1}{T} \int_0^T u(t) dt = \frac{1}{2\pi} \int_0^{2\pi} u(\omega t) d(\omega t)$ = Mittelwert
Andere Koeffizienten:
 $\hat{a}_n = \frac{2}{T} \int_0^T u(t) \cos(n\omega t) dt = \frac{1}{\pi} \int_0^{2\pi} u(\omega t) \cos(n\omega t) d(\omega t)$
 $\hat{b}_n = \frac{2}{T} \int_0^T u(t) \sin(n\omega t) dt = \frac{1}{\pi} \int_0^{2\pi} u(\omega t) \sin(n\omega t) d(\omega t)$
- Komplexe Form:**
 $u(t) = c_0 + \sum_{n=1}^{\infty} [\hat{c}_n e^{jn\omega t} + \hat{c}_{-n} e^{-jn\omega t}] = \sum_{n=-\infty}^{\infty} \hat{c}_n e^{jn\omega t}$
Umrechnung:
 $c_0 = a_0$, $\hat{c}_n = \frac{\hat{a}_n - j\hat{b}_n}{2}$, $\hat{c}_{-n} = \frac{\hat{a}_n + j\hat{b}_n}{2} = \hat{c}_n^*$
Direkte komplexe Koeffizientenberechnung:
 $\hat{c}_n = \frac{1}{T} \int_0^T u(t) e^{-jn\omega t} dt$
Konvertierung real + komplex:
 $a_0 = c_0$, $\hat{a}_n = 2\text{Re}(\hat{c}_n)$, $\hat{b}_n = -2\text{Im}(\hat{c}_n)$

Symmetrien und Vereinfachungen

- Gerade Funktionen:**
 $u(t) = u(-t) \rightarrow \text{gerade Funktion} \rightarrow b_n = 0$
 $a_0 = \frac{2}{T} \int_0^{\frac{T}{2}} u(t) dt$
 $\hat{a}_n = \frac{4}{T} \int_0^{\frac{T}{2}} u(t) \cos(n\omega t) dt$
- Ungerade Funktion:**
 $u(t) = -u(-t) \rightarrow \text{ungerade Funktion} \rightarrow a_n = 0$
 $\hat{b}_n = \frac{4}{T} \int_0^{\frac{T}{2}} u(t) \sin(n\omega t) dt$

- Halbwelligensymmetrie:**
 $u(t) = -u(t + T/2) \rightarrow a_0 = 0$ und $\hat{a}_{2n} = \hat{b}_{2n} = 0$
 $\hat{a}_{2n-1} = \frac{4}{T} \int_0^{\frac{T}{2}} u(t) \cos((2n-1)\omega t) dt$
 $\hat{b}_{2n-1} = \frac{4}{T} \int_0^{\frac{T}{2}} u(t) \sin((2n-1)\omega t) dt$

- Gerade Funktion mit Halbwelligensymmetrie:**
 $u(t) = u(-t) = -u(t + T/2) \rightarrow a_0 = \hat{a}_{2n} = \hat{b}_{2n} = 0$
 $\hat{a}_{2n-1} = \frac{8}{T} \int_0^{\frac{T}{4}} u(t) \cos((2n-1)\omega t) dt$
- Ungerade Funktion mit Halbwelligensymmetrie:**
 $u(t) = -u(-t) = -u(t + T/2) \rightarrow a_0 = \hat{a}_n = \hat{b}_{2n} = 0$



- Achsenverschiebung/Zeitverschiebung:** $t \mapsto t - t_0$
 $\hat{a}_{n,neu} = \hat{a}_n \cos(n\omega t_0) - \hat{b}_n \sin(n\omega t_0)$
 $\hat{b}_{n,neu} = \hat{a}_n \sin(n\omega t_0) + \hat{b}_n \cos(n\omega t_0)$

Spektralardarstellung

$$\hat{\epsilon}_n = \sqrt{\hat{a}_n^2 + \hat{b}_n^2} \neq \hat{\epsilon}_n$$

Leistung

$$P = \frac{1}{T} \int_0^T u(t) i(t) dt$$

$$P = U \cdot I_{eff} = \frac{\hat{u}}{\sqrt{2}} \cdot \frac{\hat{i}_{inPhase}}{\sqrt{2}}$$

Trigonometrische Zusammenhänge

$$\sin^2(x) = \frac{1 - \cos(2x)}{2}$$

$$\cos(\arcsin(x)) = \sqrt{1-x^2}, \quad \sin(2 \arcsin(x)) = 2x\sqrt{1-x^2}$$

Stammfunktionen für Fourier-Zerlegung

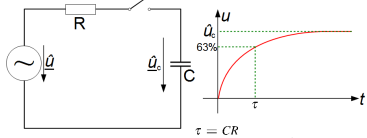
$$\int_{T_1}^{T_2} \sin(\omega t) \cos(n\omega t) dt = \left[\frac{-\cos(\omega t) \cos(n\omega t) + n \sin(\omega t) \sin(n\omega t)}{4\omega} \right]_{T_1}^{T_2}$$

$$\int_{T_1}^{T_2} \sin(\omega t) \sin(n\omega t) dt = \left[\frac{\cos(\omega t) \cos(n\omega t) - n \sin(\omega t) \sin(n\omega t)}{\omega(n^2-1)} \right]_{T_1}^{T_2}$$

$$\int_{T_1}^{T_2} \cos(\omega t) \sin(\omega t) dt = \left[\frac{t}{2} - \frac{\sin(2\omega t)}{4\omega} \right]_{T_1}^{T_2}$$

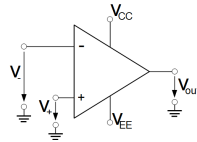
$$\int_{T_1}^{T_2} \cos(\omega t) \sin(n\omega t) dt = \left[\frac{\cos(\omega t) \sin(n\omega t) - n \sin(\omega t) \cos(n\omega t)}{\omega(n^2-1)} \right]_{T_1}^{T_2}$$

Schaltvorgänge DGL



DGL: $\dot{u}_C + \frac{1}{RC} u_C = \frac{1}{RC} u_0 \Rightarrow u_C(t) = u_0(1 - e^{-t/RC})$

Operationsverstärker



$$v_{out} = A(v_+ - v_-)$$

$$v_{out} \in [V_{EE}, V_{CC}]$$

Verstärkung: A

Zwischen den Eingängen besteht kein Spannungsunterschied, falls:

- negativer Rückkopplung
- idealer Operationsverstärker
- $v_{out} \in [V_{EE}, V_{CC}]$

Dann kann man die Eingänge des OPV's als verbunden betrachten.

Idealer Operationsverstärker

$$A = \infty$$

$$R_{in} = \infty$$

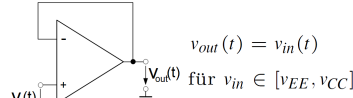
$$R_{out} = 0$$

$$v_- < v_+ \Rightarrow v_{out} = V_{CC}$$

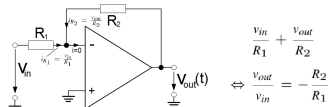
$$v_- > v_+ \Rightarrow v_{out} = V_{EE}$$

$$v_- = v_+ \Rightarrow v_{out} = V_{BE}$$

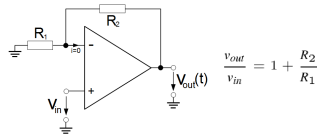
Spannungsfollower



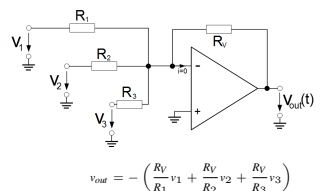
Invertierender Verstärker



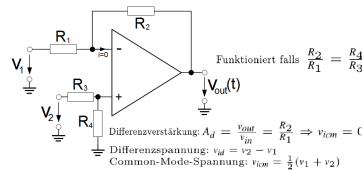
Nicht-invertierender Verstärker



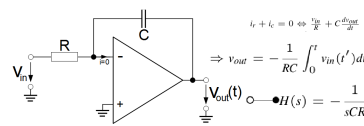
Summiervverstärker



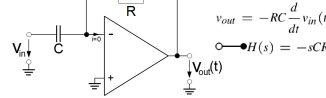
Differenzverstärker



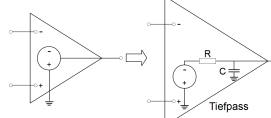
Integrierer



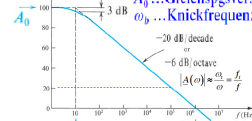
Differenzierer



Nicht-idealer Operationsverstärker



Die Geradeverst. d. realen OPV sinkt mit zunehmender Freq. Durch entspr. innere Frequenzkompensation wird ein Tiefpassverh. 1. Ordnung erreicht.



$$|A(\omega)| = \frac{A_0}{1 + j\omega/\omega_c}$$

Näherung f. $\omega \gg \omega_c$

$$|A(\omega)| \approx \frac{A_0 \omega_c}{\omega}$$

$$|A(\omega)| \approx \frac{A_0 \omega_c}{\omega}$$

Transitfrequenz: $\omega_b = A_0 \cdot \omega_c$ Nulldurchgang

3dB-Grenze: $A_{Schaltung}(0) \cdot \frac{1}{\sqrt{2}} = |A_{Schaltung}(\omega)|$

nach ω umformen um ω_b zubekommen

Nicht-idealer invertierender Verstärker:

$$\frac{v_{out}}{v_{in}} = -\frac{R_2}{R_1} \frac{1}{1 + \frac{(1+R_2/R_1)}{A(\omega)}}$$

Nicht-idealer Nicht-invertierender Verstärker:

$$\frac{v_{out}}{v_{in}} = \left(1 + \frac{R_2}{R_1}\right) \frac{1}{1 + \frac{(1+R_2/R_1)}{A(\omega)}}$$

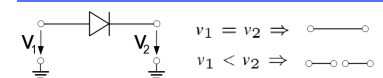
$$A(\omega) = \frac{A_0}{1 + j\omega/\omega_b}$$

dB-Umrechnung

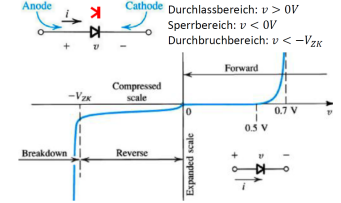
$$A_{dB} = 20 \cdot \log_{10} A$$

$$A = 10^{\frac{A_{dB}}{20}}$$

Dioden

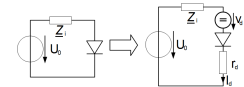


Nicht-ideale Diode



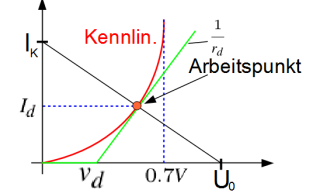
Ersatzschaltbild

- Diode aus der Schaltung nehmen.
- Verbleibende Schaltung als Quelle darstellen.
- Diode einsetzen mit parasitären Eigenschaften.

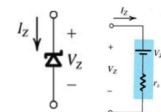


Arbeitspunkt

Mit dem Arbeitspunkt können v_d , I_d und r_d bestimmt werden mittels der Diodenkennlinie.

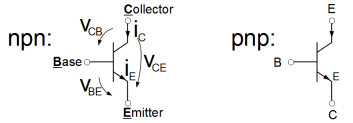


Zenerdiode



Zenerdiode:
 Betrieb im Durchbruchbereich, zur Spannungsstabilisierung.
 $V_Z = V_{Z0} + r_Z I_Z$

Bipolartransistoren (BJT)



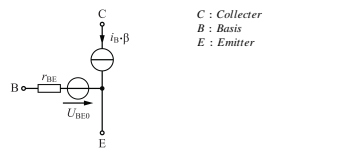
$i_E = i_B + i_C$ $i_C = \beta i_B$ $i_C = \alpha i_E$

β Gerätekonstante $\alpha = \frac{\beta}{\beta + 1}$ falls $\beta \gg 1 \Rightarrow \alpha \approx 1$

Betriebsmodi

- **Sperrbereich:** $V_{BE} < 0.7V$
- **Aktiver Bereich:** $V_{BE} > 0.7V$ $V_{CE} \approx 0.3V$
- **Sättigungsbereich:** $V_{BE} > 0.7V$ $V_{CE} \leq 0.2...0.3V$

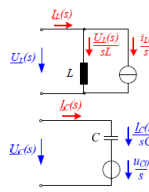
Ersatzschaltbild



Laplace-Transformation

Komponenten

Induktivität:
 $U_L(s) = L s I_L(s) - L i_{L0}$
 $I_L(s) = \frac{U_L(s)}{Ls} + \frac{i_{L0}}{s}$



Kondensator:
 $I_C(s) = C s U_C(s) - C u_{C0}$
 $U_C(s) = \frac{I_C(s)}{Cs} + \frac{u_{C0}}{s}$

Allgemein: Wie normal, aber mit $j\omega = s$.

Anfangswerte

ESB	Spannung	Strom
	$U = RI$	$I = \frac{U}{R}$
	$U = sL \cdot I(s) - LI_0$	$I = \frac{U(s)}{sL} + \frac{I_0}{s}$
	$U = \frac{I(s)}{sC} + \frac{U_0}{s}$	$I = sC \cdot U(s) - CU_0$

Eigenschaften

$f(t)$	$F(s)$
$\lambda \cdot f(t) + \mu \cdot g(t)$	$\lambda \cdot F(s) + \mu \cdot G(s)$
$f(a \cdot t), a > 0$	$\frac{1}{a} \cdot F\left(\frac{s}{a}\right)$
$f(t - t_0)$	$e^{-st_0} \cdot F(s)$
$e^{-at} \cdot f(t)$	$F(s+a)$
$f'(t)$	$s \cdot F(s) - f(0)$
$f''(t)$	$s^2 \cdot F(s) - s \cdot f(0) - f'(0)$
$f^{(n)}(t)$	$s^n F(s) - \sum_{k=0}^{n-1} f^{(k)}(0) s^{n-k-1}$
$-t \cdot f(t)$	$F'(s)$
$t^2 \cdot f(t)$	$F''(s)$
$(-t)^n \cdot f(t)$	$F^{(n)}(s)$
$\int_0^t f(u) du$	$\frac{1}{s} \cdot F(s)$
$\int_0^\infty f(t) dt$	$\lim_{s \rightarrow 0} s \cdot F(s)$

Heaviside-Funktion: Wird benötigt um Sprünge in Funktionen darzustellen.

$$\sigma(x) = \begin{cases} 1 & x > 0 \\ 0 & \text{sonst} \end{cases}$$

Laplace Korrespondenzen

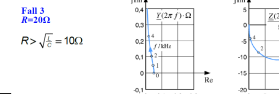
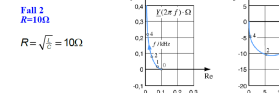
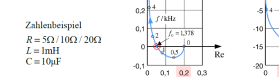
1	$\frac{1}{s}$
$t^n, (n = 1, 2, \dots)$	$\frac{n!}{s^{n+1}}$
e^{-at}	$\frac{1}{s+a}$
$t e^{-at}$	$\frac{1}{(s+a)^2}$
$t^n e^{-at}, (n = 1, 2, \dots)$	$\frac{n!}{(s+a)^{n+1}}$
$\frac{1}{a} e^{-\frac{L}{a}t}$	$\frac{1}{s + \frac{L}{a}}$
$\frac{1}{a^2} t e^{-\frac{L}{a}t}$	$\frac{1}{(s + \frac{L}{a})^2}$
$1 - e^{-\frac{L}{a}t}$	$\frac{1}{s(s + \frac{L}{a})}$
$\frac{1}{a-b} \left(e^{-\frac{L}{a}t} - e^{-\frac{L}{b}t} \right)$	$\frac{1}{(s + \frac{L}{a})(s + \frac{L}{b})}$
$\frac{1}{2a^2} t^2 e^{-\frac{L}{a}t}$	$\frac{1}{(s + \frac{L}{a})^3}$
$1 - \left(1 + \frac{L}{a}t \right) e^{-\frac{L}{a}t}$	$\frac{1}{s(s + \frac{L}{a})^2}$
$t - a + a e^{-\frac{L}{a}t}$	$\frac{1}{s^2(s + \frac{L}{a})}$
$1 + \frac{1}{b-a} \left(a e^{-\frac{L}{a}t} - b e^{-\frac{L}{b}t} \right)$	$\frac{1}{(s + \frac{L}{a})(s + \frac{L}{b})}$
$\frac{1}{(a-b)^2} e^{-\frac{L}{a}t} - \frac{a + (a-b)t}{(a-b)^2} e^{-\frac{L}{b}t}$	$\frac{1}{(s + \frac{L}{a})(s + \frac{L}{b})^2}$
$\frac{1}{b-a} \left(e^{-at} - e^{-bt} \right)$	$\frac{1}{(s+a)(s+b)}$
$e^{-at} - e^{-bt}$	$\frac{1}{(s+a)(s+b)}$
$\frac{1}{(b-a)^2} \left(e^{-at} - e^{-bt} - at e^{-at} + bt e^{-bt} \right)$	$\frac{1}{(s+a)^2(s+b)}$
$(1 - at) e^{-at}$	$\frac{1}{(s+a)^2}$
$\frac{1}{a^3} (a - t) e^{-\frac{L}{a}t}$	$\frac{1}{(s + \frac{L}{a})^3}$
$\frac{ae^{-\frac{L}{a}t} - be^{-\frac{L}{b}t}}{ab(a-b)}$	$\frac{1}{(s + \frac{L}{a})(s + \frac{L}{b})}$
$\frac{-\frac{L}{a}}{(a-b)^2} + \frac{b^2 + (a-b)L}{(a-b)^2} e^{-\frac{L}{b}t}$	$\frac{1}{(s + \frac{L}{a})(s + \frac{L}{b})^2}$
$\frac{1}{a-b} \left(a e^{-at} - b e^{-bt} \right)$	$\frac{1}{(s+a)(s+b)}$
$-a(e^{-at} - e^{-bt}) - bt e^{-bt}$	$\frac{1}{(s+a)(s+b)^2}$
$\left(\frac{1}{a^3} - \frac{2t}{a^4} + \frac{t^2}{2a^5} \right) e^{-\frac{L}{a}t}$	$\frac{1}{(s + \frac{L}{a})^3}$
$\left(1 - 2at + \frac{1}{2}at^2 \right) e^{-at}$	$\frac{1}{(s+a)^3}$
$\sin(at)$	$\frac{1}{s^2 + a^2}$
$\cos(at)$	$\frac{s}{s^2 + a^2}$

$\sin(at + \phi)$	$\frac{s \sin \phi + a \cos \phi}{s^2 + a^2}$
$\cos(at + \phi)$	$\frac{s \sin \phi - a \cos \phi}{s^2 + a^2}$
$\sin^2(at)$	$\frac{2a^2}{s^2 + 4a^2}$
$\cos^2(at)$	$\frac{s^2 + 2a^2}{s^2 + 4a^2}$
$e^{-bt} \sin(at)$	$\frac{a}{(s+b)^2 + a^2}$
$e^{-bt} \cos(at)$	$\frac{s+b}{(s+b)^2 + a^2}$
$e^{-bt} \sin(at + \phi)$	$\frac{s \sin \phi + a \cos \phi}{(s+b)^2 + a^2}$
$e^{-bt} \cos(at + \phi)$	$\frac{s+b}{(s+b)^2 + a^2} \sin \phi - \frac{a}{(s+b)^2 + a^2} \cos \phi$
$e^{-bt} \sin(\omega_1 t), a^2 > b^2$	$\frac{1}{s^2 + 2bs + a^2}$
$e^{-bt} \sinh(\omega_2 t), a^2 < b^2$	$\frac{1}{s^2 + 2bs + a^2}$
$\omega_1 = \sqrt{a^2 - b^2}$	
$\omega_2 = \sqrt{b^2 - a^2}$	
$e^{-bt} \cos\left(\sqrt{b^2 - a^2} t\right)$	$\frac{s+b}{s^2 + 2bs + a^2}$
$e^{-bt} \cosh\left(\sqrt{b^2 - a^2} t\right)$	$\frac{s+b}{s^2 + 2bs + a^2}$
$t \sin(at)$	$\frac{2as}{(s^2 + a^2)^2}$
$t \cos(at)$	$\frac{2a^2 - s^2}{(s^2 + a^2)^2}$
$t^2 \sin(at)$	$2a \frac{3s^2 - a^2}{(s^2 + a^2)^3}$
$t^2 \cos(at)$	$2 \frac{3s^2 - a^2}{(s^2 + a^2)^3}$
$\sinh(at)$	$\frac{a}{s^2 - a^2}$
$\cosh(at)$	$\frac{s}{s^2 - a^2}$
$\frac{a(b-c)e^{-at} + b(c-a)e^{-bt} + c(a-b)e^{-ct}}{(a-b)(b-c)(c-a)}$	$\frac{s}{(s+a)(s+b)(s+c)}$
$\frac{a^2 - 2ab + b^2}{(a-b)^2} e^{-at} - \frac{a}{(a-b)^2} e^{-bt}$	$\frac{1}{(s+a)(s+b)^2}$
$\frac{bc(-b-c)e^{-\frac{L}{a}t} + ca(a-c)e^{-\frac{L}{b}t} + ab(b-a)e^{-\frac{L}{c}t}}{abc(a-b)(b-c)(c-a)}$	$\frac{1}{(s + \frac{L}{a})(s + \frac{L}{b})(s + \frac{L}{c})}$
$\frac{a^2 - 2ab + b^2}{(a-b)^2} e^{-at} - \frac{2ab - b^2 - b^2}{(a-b)^2} (a-b)t e^{-at} - \frac{a^2 - (b-a)^2}{(a-b)^2} (a-b)t^2 e^{-at}$	$\frac{1}{(s+a)(s+b)^2}$
$\frac{a^2 - (b-a)^2}{(a-b)(b-c)(c-a)}$	$\frac{1}{(s+a)(s+b)(s+c)}$
$\frac{a(-b-c)e^{-\frac{L}{a}t} + b(a-c)e^{-\frac{L}{b}t} + c(b-a)e^{-\frac{L}{c}t}}{(a-b)(b-c)(c-a)}$	$\frac{1}{(s + \frac{L}{a})(s + \frac{L}{b})(s + \frac{L}{c})}$
$\frac{(c-b)e^{-at} + (a-c)e^{-bt} + (b-a)e^{-ct}}{(s+a)(b-c)(c+a)}$	$\frac{1}{(s+a)(s+b)(s+c)}$
$\frac{(b-c)e^{-\frac{L}{a}t} - a(c-a)e^{-\frac{L}{b}t} + (a-b)e^{-\frac{L}{c}t}}{(a-b)(b-c)(c-a)}$	$\frac{1}{(s + \frac{L}{a})(s + \frac{L}{b})(s + \frac{L}{c})}$
$1 - e^{-bt} \left[\cos(\omega_1 t) + \frac{b}{\omega_1} \sin(\omega_1 t) \right]$	$\frac{1}{s^2 + b^2}$
$1 - e^{-bt} \left[\cosh(\omega_2 t) + \frac{b}{\omega_2} \sinh(\omega_2 t) \right]$	$\frac{1}{s^2 + 2bs + a^2}$
$a^2 < b^2$	
$a^2 < b^2$	
mit $\omega_1 = \sqrt{a^2 - b^2}, \omega_2 = \sqrt{b^2 - a^2}$	
$\cosh(at) = \frac{1}{2} (e^{at} + e^{-at})$	$\frac{s}{s^2 - a^2}$
$\frac{1}{2a^2} [a \cosh(at) - \sinh(at)]$	$\frac{1}{(s^2 - a^2)^2}$
$\frac{1}{2} \sinh(at)$	$\frac{1}{(s^2 - a^2)^2}$
$\frac{1}{2a} [a \cosh(at) + \sinh(at)]$	$\frac{1}{(s^2 - a^2)^2}$

Zehnerpotenz	Präfix	Symbol
10^{-3}	Milli	m
10^{-6}	Mikro	μ
10^{-9}	Nano	n
10^{-12}	Piko	p
10^{-15}	Femto	f
10^{-18}	Atto	a
10^{-21}	Zepto	z
10^{-24}	Yokto	y

Ortskurven

- Drei mögliche Fälle**
 1. $L/C > R^2$
 2. $L/C = R^2$
 3. $L/C < R^2$



Trigonometrische Beziehungen

- Additionstheoreme:**
- $\sin(a \pm b) = \sin(a) \cos(b) \pm \cos(a) \sin(b)$
 - $\cos(a \pm b) = \cos(a) \cos(b) \mp \sin(a) \sin(b)$
 - $\tan(a \pm b) = \frac{\tan a \pm \tan b}{1 \mp \tan(a) \tan(b)}$
 - $\sin(a + b) \sin(a - b) = \cos^2 b - \cos^2 a$
 - $\cos(a + b) \cos(a - b) = \cos^2 b - \sin^2 a$
 - $\sinh(a + b) = \sinh(a) \cosh(b) + \cosh(a) \sinh(b)$
 - $\cosh(a + b) = \cosh(a) \cosh(b) + \sinh(a) \sinh(b)$
- Kosinussatz:**
- $c^2 - a^2 + b^2 - 2ab \cos(\gamma)$
- Sinusussatz:**
- $\frac{a}{\sin(\alpha)} = \frac{b}{\sin(\beta)} = \frac{c}{\sin(\gamma)} = \frac{2R}{1} = 2R$

Einheitenpräfixe

Zehnerpotenz	Präfix	Symbol
10^{12}	Tera	T
10^9	Giga	G
10^6	Mega	M
10^3	Kilo	k